

图 4 罗红霉素原料药溶解速率曲线

Fig 4 The dissolution rate curve of roxithromycin

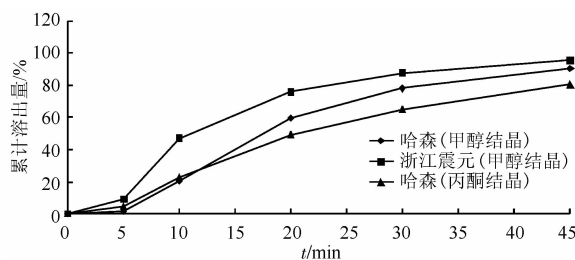


图 5 罗红霉素胶囊溶出曲线

Fig 5 The dissolution curve of roxithromycin capsule

3 讨论

本实验用 X 射线粉末衍射法和红外光谱法，分析并比较了罗红霉素的 3 种结晶，图 1 和图 2 显示 3 个结晶的 X 射线粉末衍射图均不相同，为 3 种不同的晶型。

从图 4~5 可知，丙酮结晶的罗红霉素溶出慢，溶出度较差；甲醇结晶的两种晶型溶出快、溶出

度好，溶出度均在 90% 以上。提示不同晶型的罗红霉素溶出度有一定差异。

REFERENCES

- [1] HUANG S H, LONG X Y, YUAN F, et al. Correlativity between solubility O/W partition coefficients of berberine hydrochloride and intestinal absorption in rats in situ [J]. Chin J Mod Appl Pharm(中国现代应用药学), 2012, 29(3): 233-238.
- [2] XIONG Y K, LIANG S, DU Y, et al. HPLC determination of equilibrium solubility and apparent oil/water partition coefficient of senkyunolide I [J]. Chin J Pharm Anal(药物分析杂志), 2012, 32(9): 1644-1647.
- [3] LI Z W. Methods for the analysis of drug crystal forms [J]. Chin J Vet Med(中国兽药杂志), 2006, 40(1): 45-48.
- [4] LOTTER A P, FLANAGAN JR D R, PALEPU N R, et al. A simple reproducible method for determining dissolution rates of hydrophobic powders [J]. Pharm Technol, 1983(4): 56-66.
- [5] CHENG X F, ZHAO C J. HPLC for determination of dissolution of roxithromycin [J]. J Prac Med Pharm(实用医药杂志), 2004, 21(9): 818-819.
- [6] CHENG Y M, LIN L, CHENG Y P, et al. Study on the dissolubility of roxithromycin capsules and tablets from different manufactures [J]. Fujian Med J(福建医药杂志), 2005, 27(3): 132-134.
- [7] WANG S M, ZHAO S F, WANG C P. Study on the dissolubility of roxithromycin capsules [J]. J Hebei Med Univ(河北医科大学学报), 2001, 22(1): 24-25.
- [8] WANG J, MONG Z. Development of the dissolution methods for roxithromycin granules and roxithromycin for suspension by HPLC [J]. Chin J Antibiot(中国抗生素杂志), 2009, 34(8): 489-492.

收稿日期：2013-03-01

羟丙基-β-环糊精包合双氯芬酸钠注射液的制备

庄婕，呼海涛，乔燕萍(上海医药集团股份有限公司，上海 201203)

摘要：目的 制备适合临床用药浓度和稳定性的双氯芬酸钠(DS)注射液。方法 采用羟丙基-β-环糊精对 DS 进行包合，通过相溶解度图确定包合比例，并对抗氧剂种类以及灭菌条件进行筛选。结果 当羟丙基-β-环糊精浓度 $>0.067\text{7 mol}\cdot\text{L}^{-1}$ 时，可以实现对 DS 的完全包合；以硫代甘油作为抗氧剂，注射液性质稳定；终端灭菌不宜采用热压灭菌法。结论 羟丙基-β-环糊精可以增加 DS 在水中的溶解度，使其达到有效治疗浓度。制备得到的注射液性质稳定，满足临床用药要求。

关键词：双氯芬酸钠；羟丙基-β-环糊精；抗氧剂；稳定性

中图分类号：R944.11 文献标志码：B 文章编号：1007-7693(2013)10-1097-05

Injectable Solution of Diclofenac Sodium Cyclodextrin Inclusion

ZHUANG Jie, HU Haitao, QIAO Yanping(Shanghai Pharmaceuticals Holding Co. Ltd., Shanghai 201203, China)

ABSTRACT: OBJECTIVE To prepare diclofenac sodium injection with therapeutic concentration and high stability. **METHODS** Hydroxypropyl- β -cyclodextrin was used to form the inclusion complex with diclofenac sodium. The

作者简介：庄婕，女，博士，助理研究员

Tel: (021)61871700

Email: zhuangj@pharm-sh.com.cn

compounding rate was measured by phase solubility diagram. The optimal antioxidant and sterilization condition were selected.

RESULTS The analysis showed the inclusion complex could be formed when the concentration of hydroxypropyl- β -cyclodextrin was more than 0.067 7 mol·L⁻¹. Monothioglycerol was a suitable antioxidant to stabilize the injection. Filtration should be used for terminal sterilization. **CONCLUSION** Hydroxypropyl- β -cyclodextrin could increase the aqueous solubility of diclofenac sodium to reach the effective therapeutic concentration. The diclofenac sodium injection prepared was stable enough to satisfy the clinical requirement.

KEY WORDS: diclofenac sodium; hydroxypropyl- β -cyclodextrin; antioxidant; stability

双氯芬酸钠(diclofenac sodium, DS)是一种衍生于苯乙酸类的非甾体消炎镇痛药(NSAIDS)，其良好的解热镇痛效果带动了众多剂型的开发上市，目前除了注射剂之外，均为口服剂型和局部给药剂型^[1]。DS 注射液主要为不能口服的住院患者解除疼痛和退热。然而，由于 DS 在水中溶解度较小(25 mg·mL⁻¹, 25 °C)^[2]，达不到制剂浓度要求，而 DS 的分子结构中尚含有易氧化基团，如将其制成注射液后，可使药物的稳定性下降^[3]，因此寻找合适的溶剂系统以及提高制剂稳定性成为研究的关键问题。本实验采用羟丙基- β -环糊精(HP- β -CD)对 DS 进行包合，并对包合比例、抗氧剂的种类以及灭菌条件分别进行考察，以制备具有较高溶解度和稳定性的 DS 注射液。

1 材料与仪器

1.1 材料

DS(河南东泰制药有限公司，批号：110401，纯度：99.8%); 羟丙基- β -环糊精(西安德立生物化工有限公司，批号：120723); 其他试剂均为分析纯。

1.2 仪器

85-2 型恒温磁力搅拌器(上海司乐仪器有限公司); Agilent1260 型高效液相色谱仪(美国 Agilent 公司); UV9200 型紫外分光光度计(北京瑞利分析仪器厂); PB-10 pH 计(Sartorius); G154DW 高压灭菌锅(Zealway); DSC204/1/G 动态热流式差示扫描仪(德国 Phoenix 公司)。

2 方法

2.1 包合物的制备

制备有效治疗浓度 37.5 mg·mL⁻¹ 的 DS 注射液。首先量取 60% 的注射用水，加入 HP- β -CD 0.2 mol·L⁻¹，60 °C 水浴加热溶解，冷却至室温，加入一定量的抗氧剂，搅拌至溶解，用盐酸调节溶液的 pH 值至 4.5。再加入 DS 使其达相应浓度，室温下继续搅拌 1 h，补足余量水，得 HP- β -CD 包合 DS 注射液：DS-HP- β -CD。

用 3‰ 的活性炭过滤后，用 0.22 μm 滤膜过滤，

充氮，灌封，主客体分子的摩尔比为 1:2。

2.2 包合物的鉴定

采用差示扫描量热分析法(DSC)对包合物的形成进行鉴定。各取 5 mg 的 DS、HP- β -CD、DS 和 HP- β -CD 的物理混合物(摩尔比 1:2)及其包合物样品，填充于铝坩埚，压盖后打孔，将其放于高温炉。以空白坩埚作为参比，升温扫描。扫描范围为 50~400 °C，升温速度为 10 °C·min⁻¹，气氛为氮气，流速为 100 mL·min⁻¹。

2.3 包合物含量测定

2.3.1 DS 包合物的紫外吸收峰位确定 根据文献[4]报道，包合物形成与否对 DS 的紫外吸收没有影响，游离态药物的吸收光谱与包合态药物完全重叠，因此可采用紫外分光光度法直接测定 DS 溶液的吸收光谱来确定包合物中 DS 的吸收峰位。

分别称取 DS 与 HP- β -CD 适量置量瓶中(DS 用微量甲醇溶解)，用水稀释至合适浓度，进行紫外扫描。

2.3.2 标准曲线的绘制 精密称取干燥至恒重的 DS 对照品适量，加微量甲醇溶解后，用水稀释配制成不同浓度的溶液，浓度分别为 2.5, 5, 12.5, 20, 25 μg·mL⁻¹，于 276 nm 波长处测定其吸光度(A)，绘制标准曲线，得回归方程：A=0.031 7C+0.011 2, r=1。

2.4 包合比例的确定-相溶解度图的制备

量取 20 mL 水，分别加入 0, 0.02, 0.04, 0.08, 0.1, 0.2 mol·L⁻¹ 的 HP- β -CD，室温搅拌溶解，用 HCl 调节 pH 值至 4.5，加入过量 DS 搅拌 12 h 后，取 0.5 mL, 8 000 r·min⁻¹ 离心 5 min，测定上清液中 DS 的量。

2.5 抗氧剂的筛选

将制备的 DS-HP- β -CD 注射液分成 6 组，分别加入不同的抗氧剂，配好后过滤、灌装、充氮、封口，于 40 °C 及光照条件下(4 500±500) lx 放样 10 d，观察注射液的变色情况，测定 pH 值的变化，并用 HPLC 测定注射液的有关物质及含量。

2.6 DS-HP- β -CD 注射液中 DS 含量测定方法

2.6.1 色谱条件 用十八烷基硅烷键合硅胶为填充剂, 以 $0.02 \text{ mol}\cdot\text{L}^{-1}$ 磷酸二氢钾溶液(磷酸调 pH 值为 2.5)-甲醇(32 : 68)为流动相; 检测波长为 276 nm。理论板数按 DS 峰计算不低于 3 000。

2.6.2 测定方法 取 40°C 及光照条件下($4\ 500\pm 500$)lx 放样 10 d 的样品适量, $8\ 000\ \text{r}\cdot\text{min}^{-1}$ 离心 5 min, 取上清液, 用甲醇稀释至合适浓度, 用 HPLC 测定 DS 的含量。

2.7 DS-HP- β -CD 注射液有关物质测定方法

2.7.1 色谱条件 用十八烷基硅烷键合硅胶为填充剂; 以 $0.02 \text{ mol}\cdot\text{L}^{-1}$ 磷酸二氢钾溶液(磷酸调 pH 值为 2.5, B)与甲醇(A)按 1 : 1 混合均匀, 混合后的溶液与甲醇按 80 : 20 作为初始比例进行梯度洗脱, 梯度洗脱程序见表 1; 检测波长为 240 nm, 流速为 $1\ \text{mL}\cdot\text{min}^{-1}$, 柱温为 25°C 。

表 1 梯度洗脱程序

Tab 1 Program of gradient elution

时间/min	A/%	B/%
0	20	80
30	80	20
33	80	20
43	20	80
53	20	80

2.7.2 测定法 同“2.6.2”含量测定方法。

2.8 活性炭吸附对药液 pH 值及含量的影响

取所制备的 DS-HP- β -CD 注射液两份, 一份加入 3‰的活性炭, 于室温搅拌 20 min 后过滤; 一份不加活性炭, 分别测定药液的 pH 值和含量。

2.9 时间对注射液的影响

取所制备的 DS-HP- β -CD 注射液两份, 一组不加抗氧剂作为对照组, 一组加入 0.5%的硫代甘油(MTG)作为抗氧剂, 分别于 121°C 灭菌 15 min 和 30 min, 考察灭菌前后注射液的变色情况、pH 值、含量及有关物质的变化。

3 结果

3.1 包合物的鉴定

由 DS、HP- β -CD、二者的物理混合物(摩尔比 1 : 2)及其包合物的 DSC 图谱可知, DS 在 290°C 表现出强烈的吸热峰, 而 HP- β -CD 在约 350°C 处有显著的吸热峰, 物理混合物中也可观察到 DS 和 HP- β -CD 的吸热峰, 但是包合物中仅在约 350°C 处观察到 HP- β -CD 的吸热峰, DS 的吸热峰消失, 这表明 DS 以分子形式包裹于环糊精中, 无结晶型

存在, 形成了包合物。DSC 图谱见图 1。

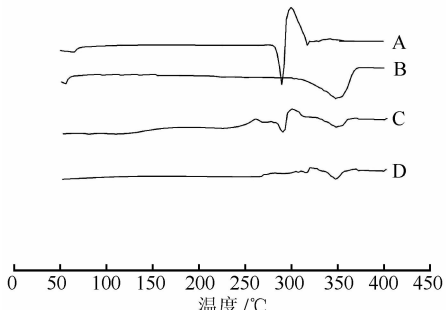


图 1 DSC 图谱

A-DS; B-HP- β -CD; C-物理混合物; D-包合物

Fig 1 DSC chromatograms

A-DS; B-HP- β -CD; C-physical mixture of DS and HP- β -CD; D-DS-HP- β -CD inclusion complex

3.2 DS 包合物紫外吸收峰位的确定

通过紫外扫描图谱可知, DS 在 276 nm 处有强吸收峰, 而 HP- β -CD 在此处没有干扰。

3.3 包合物中主客体分子比例的确定

参照文献相溶解度图法^[5], 以 DS 溶解度对 HP- β -CD 的浓度做图, 并进行线性回归, 当固定 DS 的浓度为 $37.5\ \text{mg}\cdot\text{mL}^{-1}$ ($0.118\ \text{mol}\cdot\text{L}^{-1}$), 所需 HP- β -CD 的浓度为 $0.067\ 7\ \text{mol}\cdot\text{L}^{-1}$ 。因此, 当 HP- β -CD 的浓度大于 $0.067\ 7\ \text{mol}\cdot\text{L}^{-1}$ 时, 可以实现对 DS 的完全包含, 结果见图 2。

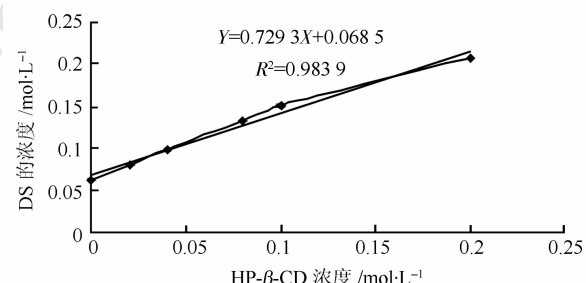


图 2 DS 在 HP- β -CD 中的相溶解度图($n=3$)

Fig 2 Phase solubility diagram of DS in HP- β -CD($n=3$)

3.4 抗氧剂的筛选

3.4.1 注射液的变色情况 分别于 40°C 及光照条件下($4\ 500\pm 500$)lx 放样 10 d。结果显示在 40°C 下放样 10 d, 不加抗氧剂和加抗氧剂组溶液的外观均没有发生变化, 依然澄清透明, 说明高温对该注射液的影响较小; 在光照条件下放样 10 d, 除以亚硫酸钠、亚硫酸氢钠和硫代甘油作为抗氧剂组, 其余各组颜色均发生不同程度的变黄, 说明该注射液对于光照较为敏感, 光照加速了原料药 DS 的氧化。结果见表 2。

表 2 40 ℃及光照条件下放样 10 d 注射液的变色情况
Tab 2 Color changes of DS-HP- β -CD injection at 40℃ and light condition for 10 days

抗氧剂	40 ℃	光照
不加抗氧剂	—	++
0.2%亚硫酸钠	—	—
0.2%亚硫酸氢钠	—	—
0.2%硫代硫酸钠	—	+
0.02%叔丁基-对羟基-茴香醚(BHA)	—	+
0.5%硫代甘油	—	—

注: +—变色程度依次增加, ——未变色

Note: +—Color change degree increase gradually, ——color not change

3.4.2 注射液的 pH 值变化 分别于 40 ℃及光照条件下(4 500±500) lx 放样 10 d, 测注射液的 pH 值变化。在 40 ℃及光照条件下放样 10 d, 注射液的 pH 值均发生不同程度的下降, 主要是由于原料药 DS 氧化后产生吲哚类的酸性降解产物^[6]; 除不加抗氧剂组外, 其余各组 pH 值仍在质量标准范围内(6.5~8.5), 结果见表 3。

表 3 40 ℃及光照条件下放样 10 d 注射液的 pH 值变化(*n*=3)

Tab 3 pH changes of DS-HP- β -CD injection at 40℃ and light condition for 10 days (*n*=3)

抗氧剂	0 d	10 d	
		40 ℃	光照
不加抗氧剂	7.53±0.14	7.11±0.08	6.30±0.13
0.2%亚硫酸钠	7.54±0.11	6.97±0.04	6.61±0.07
0.2%亚硫酸氢钠	7.44±0.07	7.24±0.12	7.09±0.08
0.2%硫代硫酸钠	7.39±0.13	7.13±0.04	7.03±0.04
0.02%BHA	7.30±0.17	7.17±0.10	7.00±0.12
0.5%硫代甘油	7.44±0.05	7.25±0.06	7.17±0.04

3.4.3 注射液的含量变化 分别于 40 ℃及光照条件下(4 500±500) lx 放样 10 d。在 40 ℃及光照条件下放样 10 d, 各组注射液含量变化不明显, 仍在质量标准范围内(93.0%~107.0%), 结果见表 4。

表 4 40 ℃及光照条件下放样 10 d 注射液的含量变化(*n*=3)

Tab 4 Assay changes of DS-HP- β -CD injection at 40 ℃ and light condition for 10 days (*n*=3)

抗氧剂	0 d/%	10 d/%	
		40 ℃	光照
不加抗氧剂	100	99.6±1.31	95.7±0.74
0.2%亚硫酸钠	100	99.3±0.89	98.8±0.65
0.2%亚硫酸氢钠	100	103.1±1.02	102.0±0.49
0.2%硫代硫酸钠	100	105.9±0.78	98.9±1.07
0.02%BHA	100	95.2±0.84	99.0±1.24
0.5%硫代甘油	100	96.1±0.96	96.5±0.97

3.4.4 注射液有关物质变化 分别于 40 ℃及光照条件下(4 500±500) lx 放样 10 d, 注射液有关物质的单个杂质峰面积占主峰面积的百分比(A)见表 5。

表 5 40 ℃及光照条件下放样 10 d 注射液的有关物质变化

Tab 5 Related substances of DS-HP- β -CD injection at 40 ℃ and light condition for 10 days

抗氧剂	单个杂质峰面积占主峰面积的百分比/%		
	0 d	40 ℃	光照
不加抗氧剂	0	0.09	0.583
			7.066
0.2%亚硫酸钠	0	0	0.379
			2.158
0.2%亚硫酸氢钠	0	0.112	0.619
			3.339
0.2%硫代硫酸钠	0	0	0.299
			2.336
0.02%BHA	0.206	0.232	0.445
			0.152
			2.593
0.5%硫代甘油	0	0.089	0.571
		0.086	2.688
			0.129

于 40 ℃放样 10 d, 各组有关物质基本没增加(<0.3%), 再次证明高温对该注射液影响较小; 在光照条件下放样 10 d, 不加抗氧剂组出现 7% 的较大杂质峰, 其余各组有关物质也略有增加, 最大不超过 3.5%。

3.5 活性炭吸附对注射液 pH 值及含量的影响

活性炭吸附对注射液的 pH 值基本无影响, 含量下降 2%, 结果见表 6。

表 6 活性炭吸附前后注射液 pH 值及含量的变化(*n*=3)

Tab 6 pH and assay changes of DS-HP- β -CD injection before and after activated carbon adsorption (*n*=3)

	pH	含量/%
加活性炭	7.47±0.06	98±0.87
不加活性炭	7.49±0.08	100±0.99

3.6 时间对注射液外观的影响

3.6.1 不同灭菌条件下注射液的变色情况 分别于 121 ℃灭菌 15, 30 min, 加 0.5% 的硫代甘油组略变黄色, 少量沉淀; 不加抗氧剂组 121 ℃灭菌 15 min 后, 颜色变黄, 灭菌 30 min 后, 变成红棕色, 并出现絮状沉淀。产生的絮状沉淀为 DS 的热压降解产物, 成分复杂, 有脱羧脱氢物以及多分

子聚合物等，而非单一成分。

3.6.2 不同灭菌条件下注射液 pH 值的变化 分别于 121 ℃热压灭菌 15, 30 min, 注射液的 pH 值升高，可能是由于热压条件下，DS 生成碱性降解产物所致，结果见表 7。

表 7 不同灭菌条件下注射液 pH 值的变化(*n*=3)

Tab 7 pH changes of DS-HP- β -CD injection under different sterilization conditions (*n*=3)

	初始	灭菌 15 min	灭菌 30 min
0.5%硫代甘油	7.44±0.06	7.77±0.04	8.55±0.07
不加抗氧剂	7.53±0.08	7.98±0.10	8.50±0.12

3.6.3 不同灭菌条件下注射液含量的变化 分别于 121 ℃热压灭菌 15, 30 min, 注射液的含量基本没有变化，结果见表 8。

表 8 不同灭菌条件下注射液含量的变化(*n*=3)

Tab 8 Assay changes of DS- HP- β -CD injection under different sterilization conditions (*n*=3)

	初始/%	灭菌 15 min/%	灭菌 30 min/%
0.5%硫代甘油	100	98.6±0.11	99.8±0.64
不加抗氧剂	100	103.0±0.76	99.6±0.72

3.6.4 不同灭菌条件下注射液有关物质的变化 分别于 121 ℃热压灭菌 15, 30 min, 热压灭菌后，注射液的有关物质略有增加，最大不超过 3%，结果见表 9。

表 9 不同灭菌条件下注射液有关物质的变化

Tab 9 Related substances changes of DS-HP- β -CD injection under different sterilization conditions

灭菌条件	*A/%
灭菌 15 min-不加抗氧剂	1.39
灭菌 15 min-0.5%硫代甘油	1.527
灭菌 30 min-不加抗氧剂	2.854
灭菌 30 min-0.5%硫代甘油	2.385

注：*A—最大单个杂质峰面积占主峰面积的百分比

Note: *A-The largest single impurity peak area ratio of the main peak area

4 讨论

DS 是一种离子型化合物，为了提高包合效率，首先将溶液的 pH 调至酸性，使 DS 盐转化为双氯芬酸，双氯芬酸的脂溶性较强，与环糊精内腔的

疏水性结构亲和力强，更容易被包含在 HP- β -CD 的空腔内，从而提高包封效率。相溶解度图显示，随着 HP- β -CD 浓度的增加，DS 的溶解度也随之增加，但是由于 HP- β -CD 在体内具有一定的毒性，所以笔者选择适合注射的浓度来制备 DS 包合物。

稳定性结果表明，硫代甘油是 DS 注射液的最佳抗氧剂，这可能与硫代甘油中巯基的易氧化程度高有关，巯基的存在能在很大程度上争夺溶液中所存在的氧气，从而保护双氯芬酸不被氧化，从而提高了样品的稳定性。

除热原的常用方法就是使用活性炭或超滤的方法，而超滤本身的成本很高，操作复杂，批量小，所以在工业生产中活性炭除热原得到了广泛的应用。但是活性炭对药物略有吸附，通过活性炭吸附热原后，含量下降约 2%，但仍在质量标准范围内(93.0%~107.0%)；但对药液的 pH 值基本无影响。因此，在产业放大过程中，我们仍然可以考虑采用活性炭对药液进行除热原。

随着热压灭菌时间的延长，有关物质增加，且 pH 也随之升高，颜色加深，所以 DS 在热压灭菌时仍然存在降解的可能，目前在研究过程中采用过滤除菌法，在以后的研究和生产中，需要进一步选择合适的灭菌条件，完善整个注射剂的生产工艺。

REFERENCES

- [1] QIAO M Y. Summary of development of diclofenac sodium preparation in our country [J]. Pract Pharm Clin Remed(实用药物与临床), 2010, 13(5): 379-380.
- [2] MCCORMARK P L, SCOTT L J. Diclofenac sodium injection(Dyloject): in postoperative pain [J]. Drugs, 2008, 68(1): 123-130.
- [3] PENKLER L J. Stable injectable diclofenac compositions: USA, 20050238674A1 [P]. 2005-10-6.
- [4] ZHANG M J, WANG Z Q, WU J Y. Preparation of inclusion compound of diclofenac sodium- β -cyclodextrin [J]. Strait Pharm J(海峡药学), 2008, 20(10): 28-30.
- [5] LU B. New Dosage Form and Technology of Drugs (药物新制剂与新技术) [M]. 2nd ed. People's Medical Press, 2005: 41.
- [6] KORODI T, BUKOWSKI K, LACHMANN B. Evaluation of a short stability-indicating HPLC Method for diclofenac sodium gels [J]. Pharmazie, 2012, 67(12): 980-983.

收稿日期: 2013-02-01